А. Н. ШЕЙК-СЕЙКИН

Украина, Одесский национальный политехнический университет E-mail: ans@irt.opu.ua

Дата поступления в редакцию 04.04 2011 г. Оппонент к. т. и. А. И. ЦОПА

(ХНУРЭ, г. Харьков)

АРХИТЕКТУРА УСТРОЙСТВ ЦИФРОВОЙ ОБРАБОТКИ СИГНАЛОВ С ПЕРЕСТРАИВАЕМОЙ СТРУКТУРОЙ

Предложена методика синтеза архитектуры, позволяющая существенно сократить затраты аппаратурного ресурса проектируемых систем. Получены выражения для сравнительной оценки эффективности различных вариантов синтеза.

Методы и средства цифровой обработки сигналов (ЦОС) в реальном времени широко используются в современных системах обработки и передачи информации. Соответственно, весьма актуальным является синтез методов аппаратурной реализации таких систем, обеспечивающих приемлемые аппаратурные затраты.

В [1, 2] приведены методы синтеза архитектуры многоканальных фильтров сжатия и формирователей решающих статистик, обеспечивающие существенный выигрыш в части аппаратурных затрат по сравнению с традиционным построением. Методы синтеза основаны на учете особенностей поведения графов информационных связей (ГИС), описывающих алгоритмы обработки сигналов и ограничены классом таких ГИС, у которых происходит либо одновременное изменение высоты и ширины с сохранением пропорций, либо изменяется только высота (ширина).

Настоящая работа посвящена синтезу и анализу эффективности архитектуры систем ЦОС с перестраиваемой структурой, ГИС которых претерпевает так называемые аффинные преобразования [3], т. е. увеличение высоты графа h с одновременным пропорциональным уменьшением его ширины b: $h_i = k/b_i$, k = const, $i \in 1$, s (s — число вариантов). К таким системам относятся, в частности, многоканальные компенсаторы боковых лепестков адаптивных антенных решеток [4, 5].

При решении указанной задачи возможны два подхода:

- построение структуры, рассчитанной на $b_{\rm max}$, $h_{\rm max}$ с использованием метода минимальных изменений размерности базового вектора [1];
- синтез минимальной системы коммутации, обеспечивающей реконфигурацию ГИС в заданном диапазоне изменения b и h при условии постоянства минимально необходимого вычислительного ресурса (**BP**).

Введение дополнительной системы коммутации приводит к появлению на ГИС дополнительных дуг, число которых тем меньше, чем экономнее система

коммутации. Так как семейство дуг графа U(G) однозначно отображается его матрицей инциденций A(p,u), критерию $\min\{U(G)\}$ соответствует максимальная разреженность матрицы A(p,u).

Поскольку методов подобной оптимизации найти не удалось, в настоящей работе предложен ряд эвристических приемов синтеза таких систем для двух возможных (в принципе) ситуаций — изменение параметров ГИС в целое и дробное число раз.

Синтез архитектуры при изменении параметров ГИС в целое число раз

В этом случае вследствие условия $h_ib_i^{}$ =const имеем: если $h_i^{}=ih_0^{}$, то $b_i^{}=b_0^{}/i$; если $b_i^{}=ib_0^{}$, то $h_i^{}=h_0^{}/i$.

Здесь $i=2, 3, ...; h_0, b_0$ — исходная высота и исходная ширина ГИС, соответственно.

Отсюда следует, что если необходимо увеличить b и уменьшить b в i раз, то исходный ГИС нужно разделить вдоль высоты b на i частей, а эти части состыковать друг с другом так, чтобы ширина нового ГИС была равна $b_i = ib_0$.

Пример такой реконфигурации для i=2, 3, 4 приведен на **рис. 1**, где сплошными жирными линиями обозначены стыкуемые участки ГИС (вновь образуемые связи), а пунктирными — размыкаемые связи в ГИС. Сами ГИС изображены символически (без детализации внутренней структуры) в виде прямоугольников, размеры которых соответствуют высоте и ширине ГИС.

Число коммутационных элементов $q_i(\mathbf{K}\mathbf{G})$, необходимых в каждом i-м случае для размыкания старых связей и образования новых, вычисляется следующим образом:

$$-q_i = h_0 (i-1) / i + b_0 (i-1)$$
 при уменьшении h_0 ; $-q_i = b_0 (i-1) / i + h_0 (i-1)$ при уменьшении b_0 .

Тогда общее число КЭ при $i \in \overline{i_1,i_2} > 1$ будет соответственно равно

$$Q_{\kappa 1} = h_0 \sum_{i=i_1}^{i_2} \frac{i-1}{i} + b_0 \sum_{i=i_1}^{i_2} (i-1)$$
 (1)

ИЛИ

$$Q_{\kappa 1} = b_0 \sum_{i=i_1}^{i_2} \frac{i-1}{i} + h_0 \sum_{i=i_1}^{i_2} (i-1).$$
 (1')

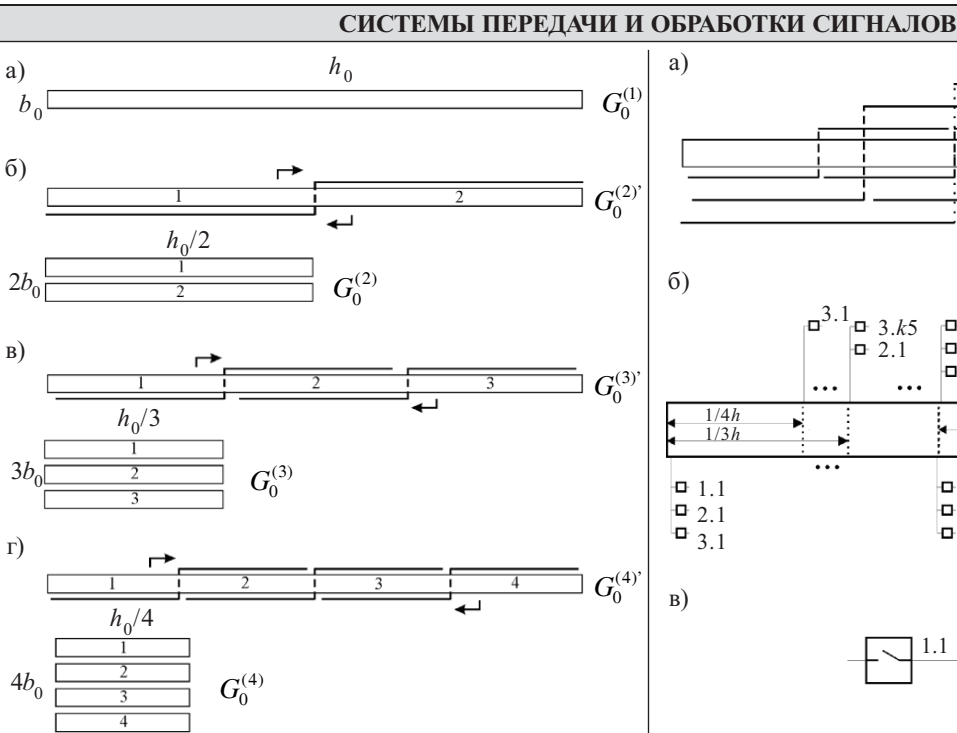


Рис. 1. Аффинное преобразование исходного графа (a) и деление его на 2, на 3 и на 4 (соответственно δ , ϵ , ϵ)

Очевидно, что предложенный способ блочной перестройки структуры оптимален для каждого конкретного значения i, поскольку число переставляемых блоков ГИС равно i—1 и внутри этих блоков связи не меняются.

В формализованном виде, аналогичном выражению (2) в [1], алгоритм синтеза можно записать следующим образом:

$$G_0 = \sum_{i=i_1}^{i_2} G_0^{(i)'},\tag{2}$$

где $G_0^{(i)'}$ — приведенный к виду исходного графа $G_0^{(i)}(b_0,h_0)$ результирующий граф $G_0^{(i)}(b_i,h_i)$, полученный после изменения b_0 и h_0 в i раз. Знак суммы, как и в [1], означает логическое сложение (наложение изображений).

Иллюстрация алгоритма (2) приведена на **рис. 2**, где k1=h/2, k2=2h/3, k3=3h/4, k4=h/2-h/3, k5=h/3-h/4, k6=h/4. Квадратами на схеме обозначены ключи, обеспечивающие новые связи, пунктирными линиями — ключи, размыкающие связи в ГИС. Два ключа с одноименными названиями выводов образуют один КЭ, обеспечивающий требуемую коммутацию элементов ГИС.

Как указывалось в [1, 2], выражение для суммарных аппаратурных затрат системы ЦОС, фактически являющейся вычислительной системой (**BC**), имеет вид $Q_0 = Q_{\rm B} + \gamma Q_{\rm K}$, где $Q_{\rm B}$ — вычислительный ресурс, $Q_{\rm K}$ — коммутационный ресурс, γ — коэффициент, отображающий относительную сложность реализации в BC коммутационных и вычислительных элементов.

Анализ рис. 1 показывает, что непосредственное применение метода наложения к реконфигурируемому графу

$$G_0 = \sum_{i=i_1}^{i_2} G_0^{(i)} \tag{3}$$

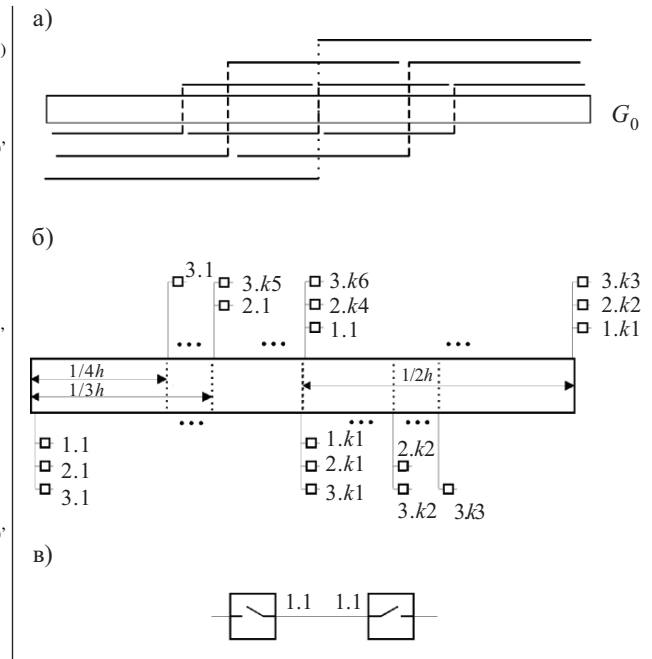


Рис. 2. Результирующий граф G_0 (*a*), трансформация его в структурную схему (б) и структура КЭ (*в*)

дает следующее значение суммарного вычислительного ресурса [1, 2]:

$$Q_{\rm B} = b_0 h_0 + b_0 h_0 / 2 + b_0 h_0 / 3 + \dots + b_0 h_0 / h_{\rm max} =$$

$$= P_0 \sum_{m=1}^{h_{\rm max}} 1 / m, \quad m \in \{1, h_{\rm max}\},$$
(4)

где $P_0 = b_0 h_0$ — вычислительный ресурс исходного графа.

Таким образом, имеем, что при первом подходе

$$Q_0 = Q_{\rm B} + \gamma Q_{\rm K} = Q_{\rm B} = P_0 \sum_{m=1}^{h_{\rm max}} 1/m, \quad m \in \{1, h_{\rm max}\},$$
 (5)

а при втором

$$Q_0 = Q_{\scriptscriptstyle R} + \gamma Q_{\scriptscriptstyle K} = P_0 + \gamma Q_{\scriptscriptstyle K}, \tag{6}$$

где $Q_{\rm K}$ определяется из выражения (1) или (1'), соответственно.

Выражения (5), (6) позволяют оценить эффективность обоих подходов при синтезе конкретной системы и выбрать наилучший алгоритм синтеза.

Синтез архитектуры при изменении параметров ГИС в кратное число раз

Как частный случай, рассмотрим вариант когда происходит изменение b (h) в a^i число раз ($a \ge 2$ — постоянное основание, i = 2, 3, ..., n).

В этом случае процедура перестройки ГИС несколько изменяется и состоит из i этапов, на каждом из которых ГИС делится на a частей (вдоль уменьшаемого параметра), которые стыкуются между собой вдоль увеличиваемого параметра.

Общее число КЭ, требующееся для перестройки ГИС при уменьшении h_0 или b_0 , соответственно равно

$$Q_{K2} = h_0 \sum_{i=i_1}^{i_2} \frac{1}{a^i} + b_0 \sum_{i=i_1}^{i_2} a^{i-1}$$
 (7)

СИСТЕМЫ ПЕРЕДАЧИ И ОБРАБОТКИ СИГНАЛОВ

или

$$Q_{K2} = b_0 \sum_{i=i_1}^{i_2} \frac{1}{a^i} + h_0 \sum_{i=i_1}^{i_2} a^{i-1}.$$
 (7')

Алгоритм синтеза определяется выражением (2), а суммарные затраты — выражением (6), где $Q_{\rm K}$ соответствует (7) или (7′).

Способ кратных аффинных преобразований ГИС в 2, в 4 и в 8 раз проиллюстрирован на **рис. 3**, где жирными сплошными и пунктирными линиями показаны соединяемые участки ГИС, а тонкими пунктирными — разъединяемые.

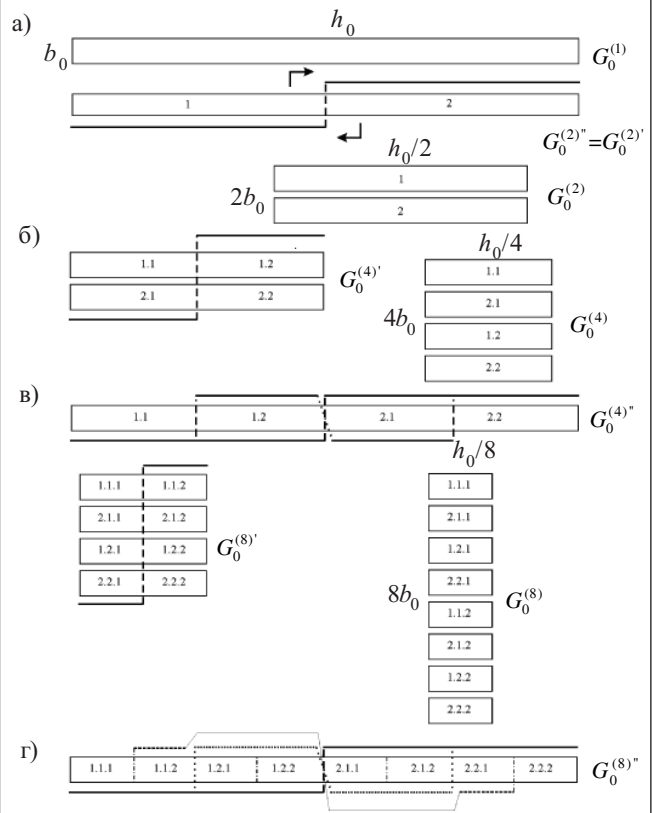


Рис. 3. Иллюстрация кратных аффинных преобразований ГИС при делении высоты графа на 2, на 4 и на 8 (соответственно $a, \, \delta, \, s$), а также результирующая структура графа (z)

Из сравнения рис. 1 с рис. 3 видно, что для изменения b, h в k раз $\left(k \in \overline{i_1,i_2}\right)$ необходимо при обоих способах произвести не более k-1 блочных перестановок, но учет свойств i_1 , i_2 позволяет в последнем случае сократить затраты на систему коммутации.

Синтез архитектуры при изменении параметров ГИС в дробное число раз

Для случая когда b, h должны изменяться не более чем в 2 раза (1<i<2) предлагается способ преобразования, использующий только одну блочную перестановку в ГИС.

Для этого исходная структура ГИС делится на две части ступенчатым сечением с величиной «ступеней» k_1 =h(i-1)/i или k_1 =b(i-1)/i вдоль уменьшаемого параметра и k_2 =(i-1)h или k_2 =(i-1)b вдоль увеличи-

ваемого параметра. При этом сечение должно проходить через границы ГИС, лежащие в плоскости уменьшаемого параметра. Далее полученные части стыкуются друг с другом вдоль увеличиваемого параметра (происходит сдвиг блоков на одну «ступень»). Общее число КЭ, осуществляющих данный способ перестройки ГИС, определяется выражением

$$Q_{K3} = b + h, \tag{8}$$

а при изменении i в диапазоне $\overline{i_1,i_2}$ выражением

$$Q_{K3} = s(b+h), \tag{9}$$

где s — число значений, которые принимает i. Алгоритм синтеза при этом записывается в виде

$$G_0 = \sum_{s} G_0^{(i_s)^m},\tag{10}$$

где $G_0^{(i)^m}$ — граф, полученный ступенчатым делением из графа $G_0^{(i_s-1)}$, $i_s \in \overline{i_1,i_2}$ и приведенный к исходному графу с указанием новых связей.

Этот способ преобразования проиллюстрирован на **рис. 4**, где квадраты с цифрами соответствуют элементам ГИС, квадраты с надписью «К» — коммутаторам, сплошные линии соответствуют новым соединениям, а пунктирные — разъединениям.

Непосредственное использование выражения (3) для нахождения результирующего ГИС в случае когда $h_{\min} = h_0/2$, $b_{\max} = 2b_0$ дает следующую предельную оценку вычислительного ресурса:

$$Q_0 = Q_{\scriptscriptstyle
m B} = h_0 b_0 + \sum_{i=0}^{b_0 - 1} h_i =$$

$$= h_0 b_0 + (h_0 + h_0 / 2) b_0 / 2 = 1,75 h_0 b_0, \tag{11}$$

где $h_i = h_0/2 + j\,b_0$ [6, с. 30], а использование алгоритма (10) определяет суммарные затраты выражением

$$Q_0 = Q_{\rm B} + \gamma Q_{\rm K} = P_0 + \gamma s (b_0 + h_0). \tag{12}$$

Сравнительный анализ эффективности алгоритмов синтеза

Разработанные алгоритмы синтеза и полученные оценки аппаратурных затрат позволяют перейти к сравнительному анализу их эффективности.

В качестве критерия эффективности в данном случае будем использовать граничное значение γ (относительной сложности системы коммутации, осуществляющей реконфигурацию структуры ВС), при котором неперестраиваемая и перестраиваемая архитектуры будут иметь одинаковые суммарные затраты [1, 2].

Для случая когда аффинные преобразования осуществляются в целое число раз без пропусков, что необходимо для получения предельных оценок $Q_{\rm B}, Q_{\rm K}$, а изменение, например, ширины графа происходит в пределах от 1 до $b_{\rm max}$, выражение для $\gamma_{\rm aфф}$ с учетом (1) — (6) определяется выражением

$$\gamma_{a\phi\phi} = P_0 \left(\sum_{m=1}^{b_{\text{max}}} \frac{1}{m} - 1 \right) / \left[P_0 \sum_{i=1}^{b_{\text{max}}} \frac{i-1}{i} + \sum_{i=1}^{b_{\text{max}}} (i-1) \right]. \quad (13)$$

В случае когда происходит аналогичное изменение высоты графа, здесь следует b_{\max} заменить на h_{\max} .

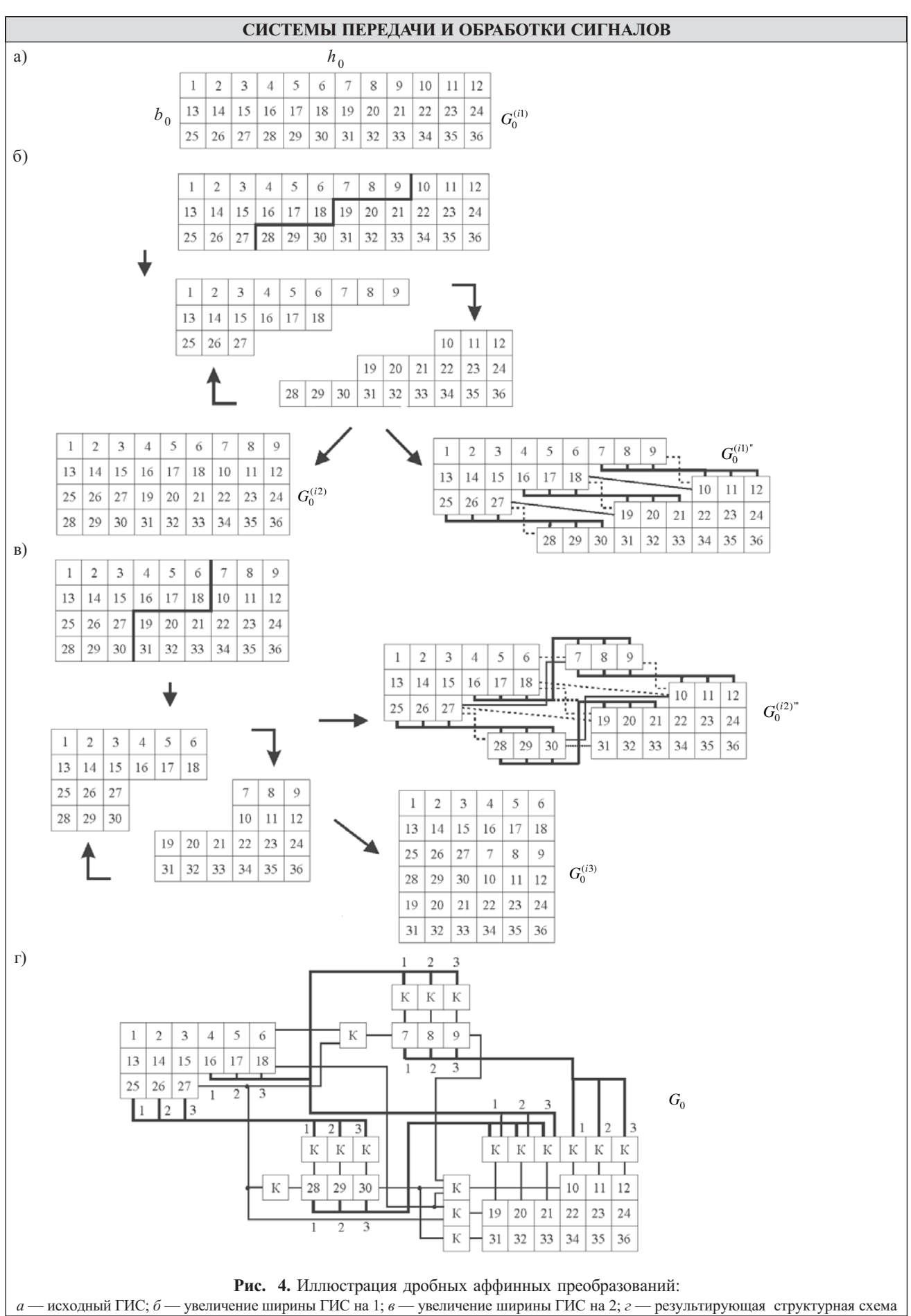




Рис. 5. Зависимость граничных значений $\gamma_{a\phi\phi}$ от $b_{\rm max}$ при целочисленных аффинных преобразованиях ГИС для различных значений h_{max}

26

50

Результаты расчетов для различных значений суммарного вычислительного ресурса приведены на рис. 5. Из графиков следует, что метод блочных перестановок эффективен в весьма широком диапазоне перестройки ГИС, поскольку даже при $h_{\rm max}$ =256 и $b_{\rm max}$ =64 граничное значение $\gamma_{\rm a d d}$ составляет около 4%. Если при этом учесть, что реальное число состояний ГИС, а следовательно и число КЭ, меньше приведенных оценок, то это тем более говорит в пользу применения данного метода. В частности, в упомянутом выше компенсаторе боковых лепестков [5] фактическое значение ү не превышает 1%, что позволило реализовать эффективную адаптивную многолучевую антенную систему [7].

При использовании кратных преобразований выражение для суммарного ресурса по методу наложения (5) преобразуется к виду

$$Q_0 = h_0 b_0 + h_0 \sum_{i=1}^{\text{tmax}} (a^{i-1} / a^i) = P_0 + h_0 i_{\text{max}} / a,$$
 (14)

а по методу кратных перестановок (6) с учетом (7)

$$Q_0^1 = P_0 + \gamma_{a\phi\phi2} \left(h_0 \sum_{i=1}^{i_{\text{max}}} \left(1/a^i \right) + b_0 \sum_{i=1}^{i_{\text{max}}} a^{i-1} \right).$$
 (15)

В этих выражениях i_{max} — число, характеризующее максимальный диапазон перестройки ГИС, $\gamma_{a \varphi \varphi 2}$ — относительная сложность реализации КЭ при кратных перестановках.

Из условия равенства (14) и (15) находим граничное значение $\gamma_{a\varphi\varphi2}$:

$$\gamma_{a \to \phi 2} = (h_0 i_{\text{max}} / a) / \left[h_0 \sum_{i=1}^{i_{\text{max}}} (1 / a^i) + b_0 \sum_{i=1}^{i_{\text{max}}} a^{i-1} \right]. \tag{16}$$

Результаты расчетов $\gamma_{a\varphi\varphi2}$ в различных диапазонах перестройки ГИС при b_0 =1, a=2 для различных значений P_0 приведены на **рис. 6**. Здесь видно, что в этом случае метод аффинных кратных преобразований существенно превосходит метод наложения, поскольку сложность КЭ может даже превосходить сложность вычислительных узлов.

При дробных преобразованиях ГИС (і— нецелые числа, 1 < i < 2) граничное значение относительной



Рис. 6. Зависимость граничных значений $\gamma_{a\varphi\varphi2}$ от диапазона изменения $h_0(b_0)$ при кратных (2^i) аффинных преобразованиях ГИС

сложности КЭ находится из условия равенства максимальных оценок ресурса для обоих методов — (11) и (12), т. е. 1,75 $Q_{\scriptscriptstyle \rm B}=Q_{\scriptscriptstyle \rm B}+\gamma_{{\rm a}\varphi\varphi3}s\left(b_0+h_0\right)$. Отсюда $\gamma_{{\rm a}\varphi\varphi3}=0,75P_0/s\left(b_0+h_0\right)=0,75b_0h_0/s\left(b_0+h_0\right),$

$$\gamma_{a\phi\phi3} = 0.75 P_0 / s(b_0 + h_0) = 0.75 b_0 h_0 / s(b_0 + h_0),$$
 (17) где $P_0 = Q_{\rm g}$.

Нетрудно показать, что предельные оценки в (17) получаются при b_0 =1, s= h_0 /2 (h_0 =1, s= b_0 /2). При суммарном ресурсе P_0 =100 граничное значение относительной сложности КЭ будет равно $\gamma_{a\phi\phi3}$ =0,015. Однако такая ситуация является весьма экзотической, и $\gamma_{a\varphi\varphi}$ достигает значения 0,058 уже при b_0 =2, P_0 =100.

Таким образом, разработана методика синтеза архитектуры вычислительной системы с перестраиваемой структурой при аффинных преобразованиях ГИС, которая предполагает дооснащение исходной ВС соответствующей системой коммутации, реализующей, в зависимости от характера изменения ГИС, один из способов блочной перестройки, обеспечивающих эффективную реализацию ВС в широком диапазоне изменения параметров ГИС. Полученные оценки аппаратурных затрат для различных способов перестройки позволяют определить эффективность реализации ВС для каждого конкретного случая.

ИСПОЛЬЗОВАННЫЕ ИСТОЧНИКИ

1. Баранов П. Е., Шейк-Сейкин А. Н. Многоканальный циф-1. Баранов П. Е., Шейк-Сейкин А. Н. Многоканальный цифровой фильтр сжатия с ассоциативной архитектурой // Труды Одесского политехнического университета.— 2010.— Вып. 1—2.— С. 166—171. [Baranov P. E., Sheik-Seikin A. N. // Trudy Odesskogo politekhnicheskogo universiteta. 2010. Iss. 1–2. P. 166] 2. Баранов П. Е., Шейк-Сейкин А. Н. Многоканальные уст-

2. Варанов Н. Е., Шейк-Сейкин А. Н. Многоканальные устройства цифровой обработки сигналов с ранжированной архитектурой // Технология и конструирование в электронной аппаратуре. — 2010.— № 3.— С. 25—28. [Baranov P. E., Sheik-Seikin A. N. // Tekhnologiya i konstruirovanie v elektronnoi apparature.

2010. N 3. P. 25]
3. Клейн Ф. Элементарная математика с точки зрения высшей.

Т. 2 Геометрия.— М.: Наука, 1987. [Klein F. Moscow. Nauka. 1987]
4. Ширман Я. Д., Манжос В. Н. Теория и техника обработки радиолокационной информации на фоне помех.— М.: Радио и связь, 1981. [Shirman YA. D., Manzhos V. N. Moscow. Radio i svyaz². 1981]
5. Патент № 4596986 США. Sidelobe canceller with adaptive antenna subarraying using a weighted Butler matrix / G. Andrews, K.

Geriacn.— 1986. 6. Корн Г., Корн Т. Справочник по математике.— М.: Наука, 1977. [Korn G., Korn T. Moscow. Nauka. 1977] 7. A. c.1711631 СССР. Адаптивная многолучевая антенная система/М. Б.Свердлик, А. А. Толкачев, А. Н. Шейк-Сейкин и др. [A. s.1711631 SSSR./M. B.Sverdlik, A. A. Tolkachev, A. N. Sheik-Seikin i dr.]